

ارزیابی بهره‌وری آب سیب‌زمینی در شرایط کم‌آبیاری با استفاده از رهیافت مدل‌سازی

مهسا مصطفوی بابوکانی^۱، یوسف هاشمی‌نژاد^{۲*}، محمد آرمین^۳، حمید مروی^۴، کوروش شجاعی^۵

۱- دانشجوی دکتری، گروه زراعت و اصلاح نباتات، دانشکده کشاورزی، دانشگاه آزاد اسلامی، واحد سبزوار، سبزوار، ایران

۲- استادیار، مرکز ملی تحقیقات شوری، سازمان تحقیقات، آموزش و ترویج کشاورزی، یزد، ایران

۳- استاد، گروه زراعت و اصلاح نباتات، دانشگاه آزاد اسلامی، واحد سبزوار، سبزوار، ایران

۴- استادیار، گروه زراعت و اصلاح نباتات، دانشگاه آزاد اسلامی، واحد سبزوار، سبزوار، ایران

۵- استادیار پژوهشی، بخش تحقیقات زراعی و باغی، مرکز تحقیقات و آموزش کشاورزی و منابع طبیعی خراسان رضوی، سازمان تحقیقات، آموزش و ترویج کشاورزی، مشهد، ایران

* ایمیل نویسنده مسئول: hasheminejhad@gmail.com

(تاریخ دریافت: ۱۱/۱۸/۱۴۰۲ - تاریخ پذیرش: ۱۱/۱۸/۱۴۰۳)

چکیده

سیب‌زمینی به دلیل عملکرد و ارزش غذایی بالا، جایگزینی برای غلات و محصولی حیاتی در امنیت غذایی است. این تحقیق به منظور ارزیابی عملکرد و بهره‌وری آب سیب‌زمینی تحت شرایط کم‌آبیاری با استفاده از مدل SWAP در قطب‌های عمده سیب‌زمینی کاری استان خراسان رضوی شامل فریمان، قوچان و گلمکان در سال ۱۳۹۸ به اجرا درآمد. ابتدا توانایی مدل در شبیه‌سازی شاخص سطح برگ و عملکرد سیب‌زمینی براساس اندازه‌گیری‌های انجام شده از مزارع هر سه منطقه موردارزیابی قرار گرفت. سپس با استفاده از مدل ارزیابی شده، عملکرد و بهره‌وری آب سیب‌زمینی تحت سناریوهای مختلف آبیاری و کم‌آبیاری شامل آبیاری مرسوم، آبیاری بر اساس ۱۰۰، ۹۰، ۸۰، ۷۰ و ۶۰ درصد نیاز آبی شبیه‌سازی شد. نتایج نشان داد که مدل SAWP در تمامی مناطق دارای قدرت خوب ($R^2 > 0.89$) و دقت بالایی در شبیه‌سازی شاخص سطح برگ (RMSE = 0.73 kg ha⁻¹) بود. قدرت و دقت مدل SAWP در شبیه‌سازی عملکرد ($R^2 = 0.96$ و RMSE = 0.5 kg m⁻³) و بهره‌وری آب ($R^2 = 0.93$ و RMSE = 0.5 kg m⁻³) سیب‌زمینی نیز به ترتیب بالا و قابل قبول بود. همچنین نتایج نشان داد که با کاهش میزان آب مصرفی نسبت به آبیاری کامل تا ۵۰ درصد نیاز آبی، عملکرد سیب‌زمینی روند کاهشی داشت. میزان کاهش عملکرد به‌ازای هر یک درصد کاهش در میزان آب آبیاری در قوچان، فریمان و گلمکان به ترتیب ۹۷/۵۵ و ۹۷/۲۵ و ۹۷/۱۹ درصد نیاز آبی در هکتار بدست آمد. میزان بهره‌وری آب نیز با اعمال کم‌آبیاری تا ۵۰ درصد نیاز آبی در گلمکان و فریمان و تا ۹۰ درصد نیاز آبی در گلمکان و فریمان افزایش یافت. به‌طورکلی، با اتخاذ سناریوی کم‌آبیاری مدیریت شده در سطح ۸۰ درصد نیاز آبی در گلمکان و فریمان و تا ۹۰ درصد نیاز آبی در قوچان ضمن حفظ عملکرد در حد مطلوب می‌توان بهره‌وری آب را نسبت به آبیاری کامل بهبود داد.

واژگان کلیدی: اعتبارسنجی، شبیه‌سازی، عملکرد، SWAP

آبیاری با حفظ عملکرد و کیفیت، در مناطقی که دسترسی به آب یک محدودیت عمدی است، مطلوب تلقی می‌گردد. به عبارت دیگر، افزایش بهرهوری آب به ویژه بهرهوری اقتصادی آب ممکن است بهترین راه برای مصرف مؤثر و کارآمد آب باشد. بهرهوری آب کلید ارزیابی استراتژی‌ها در مواجهه با محدودیت آب می‌باشد (Moghimi & Sepaskhah, 2014).

یکی از استراتژی‌هایی که به منظور افزایش بهرهوری آب مورد استفاده قرار می‌گیرد کم آبیاری است که به عنوان روشی مطمئن در صرفه‌جویی آب، به طور گسترده در مناطق خشک و نیمه‌خشک ایران استفاده شده است. در این روش از آب کمتری نسبت به نیاز آبی محصول در طول دوره رشد گیاه استفاده می‌شود تا حجم آب آبیاری را به حداقل رسانده شود (Zhang et al., 2010).

قبل از اجرای کم آبیاری در سطح مزارع نیاز است تا تقاضای آب در طول دوره رشد محصول و اثر تنش آب بر گیاه کمی‌سازی گردد که این امر با استفاده از مدل‌های ریاضی امکان پذیر است (Jing et al., 2021). شبیه‌سازی با مدل‌های ریاضی روشی مؤثر و کارآمد برای ارزیابی تأثیر کم آبیاری بر رشد محصول، پویایی موازنه آب و کارایی مصرف آب ارائه می‌دهد (Neukam et al., 2016; Leghari et al., 2019). از مدل‌های رایانه‌ای موجود برای این منظور، می‌توان به مدلی که توسط دانشگاه واگنینگن و مؤسسه آلترا را نام SWAP¹ (Kroes and Van Dam, 2003) نوشته شده است، اشاره نمود. در مدل اگروهیدرولوژیکی SWAP برای شبیه‌سازی رشد گیاه از مدل ساده WOFOST استفاده می‌شود که در آن رشد گیاه براساس فرآیندهای اکوفیزیولوژیکی شبیه‌سازی

مقدمه

سیبزمینی با نام علمی *Solanum tuberosum* L. یکی از مهم‌ترین گیاهان زراعی از نظر امنیت غذایی در جهان است که پس از گندم، برنج و ذرت در رتبه چهارم تولید دارد (Devaux et al., 2020). ایران با حدود ۱۳۱۰۰۰ هکتار سطح زیرکشت، رتبه هجدهم از نظر سطح زیرکشت سیبزمینی و با تولید حدود ۴۵ میلیون تن، رتبه نود و چهارم در تولید سیبزمینی در جهان را دارا است (FAO, 2022). تفاوت شدید جایگاه ایران از نظر سطح زیر کشت و تولید سیبزمینی در جهان، بیانگر این موضوع است که عملکرد این محصول در کشور به میزان قابل توجهی کمتر از میانگین عملکرد آن در جهان است. استان خراسان رضوی از لحاظ سطح زیرکشت سیبزمینی با ۴۴۷۶ هکتار، دوازدهمین استان کشور و از لحاظ میزان تولید با ۱۴۷ هزار تن سیزدهمین استان تولیدکننده سیبزمینی در کشور می‌باشد. میزان عملکرد سیبزمینی در واحد سطح استان خراسان رضوی حدود ۳۲۷۰۰ کیلوگرم در هکتار می‌باشد که حدود ۴۲۰۰ کیلوگرم در هکتار کمتر از میانگین کشوری آن (۳۶۹۰۰ کیلوگرم در هکتار) است (Iranian Ministry of Agriculture, 2022).

محدودیت آب برای آبیاری عامل مهم محدودکننده رشد و کاهش دهنده عملکرد در مناطق نیمه‌خشک ایران مانند استان خراسان رضوی است (Yaghoubi et al., 2022). استفاده بهینه از منابع آب به دلیل کمبود آب موردانتظار در مواجهه با تغییرات اقلیمی و افزایش رقابت برای منابع آبی بین مصارف کشاورزی، خانگی و صنعتی حائز اهمیت است (Goldani et al., 2021). بنابراین کاهش میزان

¹- Soil-water-atmosphere-plant

تأثیر شرایط آبیاری قرار می‌گیرد و همچنین وی بیان داشت که می‌توان عملکرد سیب‌زمینی را با مدل SWAP پس واسنجی در مقیاس بزرگ شبیه‌سازی کرد. در ایالت کنتاکی امریکا، در شرایط محدودیت آب، عملکرد گندم زمستانه را به‌وسیله مدل SWAP با استفاده از توابع انتقالی پارامترهای هیدرولیکی خاک تخمین زده شد. نتایج نشان داد که مدل SWAP به پارامترهای هیدرولیکی خاک حساسیت زیادی دارد (de Jong van Lier *et al.*, 2015).

از آن جایی که اغلب مدل‌های گیاهی بر پایه شرایط اقلیمی زراعی خاص یک منطقه تهیه شده‌اند، کاربرد آن‌ها در مناطق مختلف مستلزم اصلاح و اعتبارسنجی است تا داده‌های حاصل قابل مقایسه با مقادیر اندازه‌گیری شده باشند. لذا هدف از مطالعه حاضر اعتبارسنجی مدل SWAP در قطب‌های عمدۀ سیب‌زمینی کاری استان خراسان رضوی و بررسی اثر کم‌آبیاری بر عملکرد و بهره‌وری آب سیب‌زمینی با استفاده از این مدل بود.

مواد و روش‌ها

این تحقیق به‌منظور ارزیابی و پیش‌بینی عملکرد و بهره‌وری آب سیب‌زمینی با استفاده از مدل SWAP در سه قطب عمدۀ سیب‌زمینی کاری (فریمان، قوچان و گلستان) در استان خراسان رضوی در سال زراعی ۱۳۹۸ صورت گرفت. برای این منظور سه مزرعه در مناطق موردمطالعه انتخاب و اطلاعات لازم جهت اجرای مدل SWAP و اعتبارسنجی آن از این سه مزرعه جمع‌آوری گردید. این اطلاعات شامل اطلاعات هواشناسی، خاک و آب و اطلاعات زراعی و مدیریتی در طبقه مراحل رشد گیاه سیب‌زمینی در مناطق موردمطالعه بود. اطلاعات

می‌شود. اساس مدل، ارتباط فیزیکی پارامترهای خاک، آب، اتمسفر و گیاه است و از اطلاعات مختلف اقلیم، آب، خاک و گیاه برای شبیه‌سازی انتقال آب و املاح در محیط‌های اشباع و غیراشباع با شرایط مرزی مختلف و مدیریت‌های متفاوت آب آبیاری استفاده می‌کند (Kroes *et al.*, 2017). به‌طورکلی این مدل برای شبیه‌سازی عملکرد محصول، زهکشی، جریان آب، املاح و گرما در خاک، مدیریت آب در کشت آبی و بیلان آب در سیستم‌های هیدرولوژیکی کاربرد دارد (Heinen *et al.*, 2021).

مدل SWAP تحت شرایط و مناطق مختلف آزمایش و مورداستفاده قرار گرفته است. انصاری و همکاران (Ansari *et al.*, 2022) به ارزیابی مدل SWAP در شبیه‌سازی عملکرد و کارایی مصرف آب سیب‌زمینی و تعیین عمق مناسب آب آبیاری در شهرکرد پرداختند. نتایج آن‌ها حاکی از کارایی قابل قبول مدل SWAP در شبیه‌سازی عملکرد سیب‌زمینی در فرآیندهای واسنجی و ارزیابی بود. برنامه‌ریزی آبیاری سیب‌زمینی با استفاده از این مدل نیز در مطالعه مذکور نشان داد که جهت حصول بالاترین عملکرد، بهتر است عمق آب آبیاری در دوره اول رشد برابر با ۷۵۰ میلی‌متر و در دوره‌های بعدی ۹۰۰ میلی‌متر در نظر گرفته شود. جنوبی و همکاران (Jonubi *et al.*, 2017) جهت شبیه‌سازی گیاه برج در شمال کشور از مدل SWAP استفاده کردند. این محققان نشان دادند که دقیق‌ترین مدل در شبیه‌سازی عملکرد برج در حد قابل قبول بود. یان (Yan, 2015) تأثیر تنفس آبی را در سیب‌زمینی در جنوب هلند توسط مدل SWAP بررسی کرد و نشان داد که سیب‌زمینی تحت

سیبزمینی برای سه منطقه مورده مطالعه در جدول
یک ارائه شده است

هواشناسی روزانه سه ایستگاه سینوپتیک فریمان،
قوچان و گلمکان از سازمان هواشناسی استان تهیه
شد. شرایط آب و هوایی در طول فصل رشد

جدول ۱- اطلاعات ماهانه پارامترهای هواشناسی ایستگاه‌های سینوپتیک گلمکان، قوچان و فریمان در طول فصل رشد

گیاه سیبزمینی در سال ۱۳۹۸

| ایستگاه | ماه | مکاژول بر مترمربع در روز | تشعشع خورشیدی | | | دماهی حداکثر | دماهی حداقل | درجه سانتی گراد | درصد | سرعت باد | میلی متر | متر بر ثانیه | درصد | سرعت باد | بارندگی | |
|---------|---------|--------------------------|---------------|--------------|------|--------------|-------------|-----------------|------|----------|----------|--------------|-------|----------|---------|-----|
| | | | میلی متر | متر بر ثانیه | درصد | | | | | | | | | | | |
| گلمکان | آوریل | ۹۷۱۶/۷ | ۱۷/۶ | ۱/۰ | ۷۰ | ۷/۶ | ۷/۷ | ۲۶/۴ | ۱/۲ | ۶/۷ | ۵۲/۱ | ۰/۷ | ۷/۷ | ۱/۰ | ۷/۰ | ۷/۶ |
| قوچان | آوریل | ۹۷۶۱/۰ | ۱۷/۱ | ۱/۰ | ۸/۱ | ۷/۰ | ۷/۰ | ۲۵/۰ | ۱/۲ | ۷/۵ | ۱۲۱/۷ | ۰/۷ | ۸/۱ | ۱/۰ | ۸/۱ | ۸/۰ |
| فریمان | آوریل | ۹۵۹۱/۲ | ۱۷/۴ | ۰/۹ | ۹/۶ | ۲۴/۳ | ۷/۷ | ۲۴/۳ | ۰/۹ | ۸/۰ | ۸۲/۷ | ۰/۹ | ۹/۶ | ۰/۹ | ۷/۵ | ۷/۰ |
| گلمکان | می | ۱۲۷۶۷/۱ | ۱۲/۶ | ۱/۰ | ۵/۸ | ۳۲/۱ | ۱۲/۶ | ۳۲/۱ | ۱/۰ | ۵/۸ | ۵۲/۱ | ۰/۷ | ۶/۷ | ۱/۰ | ۶/۰ | ۶/۷ |
| قوچان | می | ۱۲۶۸۱/۴ | ۱۰/۲ | ۱/۰ | ۷/۵ | ۱۱/۶ | ۱۰/۲ | ۲۵/۰ | ۱/۲ | ۷/۵ | ۱۰/۷ | ۰/۷ | ۷/۵ | ۱/۰ | ۷/۰ | ۷/۵ |
| فریمان | می | ۱۳۰۴۹/۱ | ۹/۷ | ۰/۹ | ۸/۰ | ۱۱/۸ | ۹/۷ | ۳۰/۲ | ۱/۱ | ۷/۵ | ۴۸/۸ | ۰/۹ | ۸/۰ | ۱/۰ | ۸/۰ | ۸/۰ |
| گلمکان | ژوئن | ۱۴۵۳/۲ | ۱۵/۴ | ۰/۹ | ۷/۰ | ۲۰/۰ | ۱۵/۴ | ۳۶/۱ | ۱/۲ | ۷/۰ | ۲۰/۱ | ۰/۹ | ۷/۰ | ۱/۰ | ۷/۰ | ۷/۰ |
| قوچان | ژوئن | ۱۴۴۲۲/۲ | ۲۰/۰ | ۰/۹ | ۷/۰ | ۲۰/۰ | ۲۰/۰ | ۳۶/۱ | ۱/۲ | ۷/۰ | ۰/۹ | ۰/۰ | ۷/۰ | ۰/۹ | ۰/۰ | ۷/۰ |
| فریمان | ژوئن | ۱۴۴۴۱/۶ | ۱۶/۲ | ۰/۹ | ۷/۰ | ۱۶/۲ | ۱۶/۲ | ۳۶/۱ | ۱/۲ | ۷/۰ | ۰/۰ | ۰/۰ | ۷/۰ | ۰/۹ | ۰/۰ | ۷/۰ |
| گلمکان | اکتبر | ۱۲۷۰۴/۸ | ۱۶/۲ | ۰/۹ | ۷/۰ | ۱۱/۶ | ۱۶/۲ | ۲۲/۸ | ۱/۰ | ۷/۰ | ۰/۰ | ۰/۰ | ۷/۰ | ۰/۹ | ۰/۰ | ۷/۰ |
| قوچان | اکتبر | ۵۸۴۳/۳ | ۷/۵ | ۰/۹ | ۷/۰ | ۲۱/۸ | ۷/۵ | ۲۱/۸ | ۱/۰ | ۷/۰ | ۰/۰ | ۲۶/۰ | ۰/۹ | ۷/۰ | ۰/۰ | ۷/۰ |
| فریمان | اکتبر | ۵۷۵۵/۷ | ۵/۱ | ۰/۹ | ۷/۰ | ۱۱/۶ | ۵/۱ | ۲۱/۸ | ۱/۰ | ۷/۰ | ۰/۰ | ۰/۰ | ۷/۰ | ۰/۹ | ۰/۰ | ۷/۰ |
| گلمکان | نوامبر | ۳۲۶۰/۷ | -۰/۹ | ۰/۹ | ۷/۰ | ۱۱/۶ | -۰/۹ | ۱۱/۶ | ۰/۰ | ۷/۰ | ۰/۰ | ۱۳/۱ | ۰/۰ | ۷/۰ | ۰/۰ | ۷/۰ |
| قوچان | نوامبر | ۳۱۵۴/۳ | -۲/۱ | ۰/۹ | ۷/۰ | ۱۰/۷ | -۲/۱ | ۲۱/۸ | ۰/۰ | ۷/۰ | ۰/۰ | ۱۵/۰ | ۰/۰ | ۷/۰ | ۰/۰ | ۷/۰ |
| فریمان | نوامبر | ۲۰۴۶/۱ | -۱/۸ | ۰/۹ | ۷/۰ | ۱۰/۹ | -۱/۸ | ۲۱/۸ | ۰/۰ | ۷/۰ | ۰/۰ | ۱۷/۰ | ۰/۰ | ۷/۰ | ۰/۰ | ۷/۰ |
| گلمکان | دسامبر | ۹۴۳۷/۴ | ۱۰/۰ | ۰/۹ | ۷/۰ | ۲۴/۳ | ۱۰/۰ | ۲۴/۳ | ۰/۹ | ۷/۰ | ۰/۰ | ۱۹۵ | ۰/۰ | ۷/۰ | ۰/۰ | ۷/۰ |
| قوچان | دسامبر | ۹۴۹۳/۳ | ۱۰/۶ | ۰/۹ | ۷/۰ | ۲۸/۰ | ۱۰/۶ | ۲۸/۰ | ۰/۹ | ۷/۰ | ۰/۰ | ۰/۰ | ۷/۰ | ۰/۰ | ۰/۰ | ۷/۰ |
| فریمان | دسامبر | ۵۹۴۹/۳ | ۵/۱ | ۰/۹ | ۷/۰ | ۲۱/۲ | ۵/۱ | ۲۱/۲ | ۰/۰ | ۷/۰ | ۰/۰ | ۲۶/۰ | ۰/۰ | ۷/۰ | ۰/۰ | ۷/۰ |
| گلمکان | جولای | ۱۴۴۰/۹ | ۱۶/۷ | ۰/۹ | ۷/۰ | ۱۳/۰ | ۱۶/۷ | ۳۴/۸ | ۱/۰ | ۷/۰ | ۰/۰ | ۰/۰ | ۷/۰ | ۰/۰ | ۰/۰ | ۷/۰ |
| قوچان | جولای | ۱۴۴۴۱/۶ | ۱۶/۱ | ۰/۹ | ۷/۰ | ۱۱/۸ | ۱۶/۱ | ۳۰/۲ | ۱/۱ | ۷/۰ | ۰/۰ | ۰/۰ | ۷/۰ | ۰/۰ | ۰/۰ | ۷/۰ |
| فریمان | جولای | ۱۲۷۳۲/۸ | ۱۳/۰ | ۰/۹ | ۷/۰ | ۳۱/۰ | ۱۳/۰ | ۳۱/۰ | ۰/۰ | ۷/۰ | ۰/۰ | ۰/۰ | ۷/۰ | ۰/۰ | ۰/۰ | ۷/۰ |
| گلمکان | آگوست | ۹۴۹۳/۳ | ۱۰/۶ | ۰/۹ | ۷/۰ | ۲۸/۰ | ۱۰/۶ | ۲۸/۰ | ۰/۰ | ۷/۰ | ۰/۰ | ۰/۰ | ۷/۰ | ۰/۰ | ۰/۰ | ۷/۰ |
| قوچان | آگوست | ۹۴۴۱/۶ | ۱۰/۶ | ۰/۹ | ۷/۰ | ۳۱/۰ | ۱۰/۶ | ۳۱/۰ | ۰/۰ | ۷/۰ | ۰/۰ | ۰/۰ | ۷/۰ | ۰/۰ | ۰/۰ | ۷/۰ |
| فریمان | آگوست | ۹۴۴۰/۹ | ۱۲/۷ | ۰/۹ | ۷/۰ | ۳۳/۴ | ۱۲/۷ | ۳۳/۴ | ۰/۰ | ۷/۰ | ۰/۰ | ۰/۰ | ۷/۰ | ۰/۰ | ۰/۰ | ۷/۰ |
| گلمکان | سپتامبر | ۹۳۴۱/۸ | ۱۰/۳ | ۰/۹ | ۷/۰ | ۲۷/۶ | ۱۰/۳ | ۲۷/۶ | ۰/۰ | ۷/۰ | ۰/۰ | ۰/۰ | ۷/۰ | ۰/۰ | ۰/۰ | ۷/۰ |
| قوچان | سپتامبر | ۹۳۴۱/۸ | ۱۰/۳ | ۰/۹ | ۷/۰ | ۲۷/۶ | ۱۰/۳ | ۲۷/۶ | ۰/۰ | ۷/۰ | ۰/۰ | ۰/۰ | ۷/۰ | ۰/۰ | ۰/۰ | ۷/۰ |
| فریمان | سپتامبر | ۵۹۴۹/۳ | ۵/۱ | ۰/۹ | ۷/۰ | ۲۰/۱ | ۵/۱ | ۲۰/۱ | ۰/۰ | ۷/۰ | ۰/۰ | ۰/۰ | ۷/۰ | ۰/۰ | ۰/۰ | ۷/۰ |
| گلمکان | اکتبر | ۱۴۸۰/۸/۰ | ۱۲/۶ | ۰/۹ | ۷/۰ | ۲۹/۵ | ۱۲/۶ | ۲۹/۵ | ۰/۰ | ۷/۰ | ۰/۰ | ۰/۰ | ۷/۰ | ۰/۰ | ۰/۰ | ۷/۰ |
| قوچان | اکتبر | ۱۴۸۰/۸/۰ | ۱۲/۶ | ۰/۹ | ۷/۰ | ۲۹/۵ | ۱۲/۶ | ۲۹/۵ | ۰/۰ | ۷/۰ | ۰/۰ | ۰/۰ | ۷/۰ | ۰/۰ | ۰/۰ | ۷/۰ |
| فریمان | اکتبر | ۱۲۷۴۲/۶ | ۱۲/۷ | ۰/۹ | ۷/۰ | ۲۹/۵ | ۱۲/۷ | ۲۹/۵ | ۰/۰ | ۷/۰ | ۰/۰ | ۰/۰ | ۷/۰ | ۰/۰ | ۰/۰ | ۷/۰ |
| گلمکان | نوامبر | ۳۳۶۶/۶ | -۱/۸ | ۰/۹ | ۷/۰ | ۹/۶ | -۱/۸ | ۹/۶ | ۰/۰ | ۷/۰ | ۰/۰ | ۰/۰ | ۲۹/۵ | ۰/۰ | ۷/۰ | ۰/۰ |
| قوچان | نوامبر | ۳۱۵۴/۳ | -۲/۱ | ۰/۹ | ۷/۰ | ۱۰/۷ | -۲/۱ | ۱۰/۷ | ۰/۰ | ۷/۰ | ۰/۰ | ۰/۰ | ۱۵/۰ | ۰/۰ | ۰/۰ | ۷/۰ |
| فریمان | نوامبر | ۲۲۸۷/۳ | ۰/۲ | ۰/۰ | ۷/۰ | ۱۱/۱ | ۰/۲ | ۱۱/۱ | ۰/۰ | ۷/۰ | ۰/۰ | ۰/۰ | ۱۵/۴ | ۰/۰ | ۰/۰ | ۷/۰ |
| گلمکان | دسامبر | ۹۵۰۵/۱ | ۸/۱ | ۰/۰ | ۷/۰ | ۲۲/۵ | ۸/۱ | ۲۲/۵ | ۰/۰ | ۷/۰ | ۰/۰ | ۰/۰ | ۲۰۹/۳ | ۰/۰ | ۰/۰ | ۷/۰ |

خصوصیات فیزیکی و شیمیایی، قبل از کاشت از خاک مزارع مورد مطالعه نمونه برداری به عمل آمد. نمونه مرکب که حاصل از ترکیب ۵ نمونه از عمق ۰-۳۰ و ۳۰-۶۰ سانتی‌متری خاک بود، در آزمایشگاه موردت‌جزیه قرار گرفت. در مرحله بعد ضرایب توابع هیدرولیکی خاک وارد مدل شد. از بین پارامترهای روابط منحنی مشخصه رطوبتی و هدایت آبی غیراشباع، رطوبت و هدایت هیدرولیکی حداشباع دارای معنی فیزیکی بوده و اندازه‌گیری شدند. جهت برآورد سایر ضرایب توابع هیدرولیکی خاک (n ، a ، θ_{res} و λ) از مدل RETC استفاده شد. برای این منظور ابتدا مشخصات هر لایه خاک ارائه شده در جدول ۲ به عنوان ورودی به مدل داده شد و مقادیر پارامترهای معادله ونگنوختن شامل a ، n ، θ_{res} و λ به عنوان خروجی (جدول ۳) بدست آمد.

اطلاعات مربوط به مدیریت مزرعه و مراحل فنلوزیکی سیب‌زمینی شامل تاریخ کاشت، تاریخ برداشت، مدیریت آبیاری، میزان کود مصرفی و تاریخ مراحل فنلوزیکی سیب‌زمینی در مزارع انتخاب شده از هر منطقه به صورت پرسشنامه جمع‌آوری شد. به علاوه سطح برگ در پنج مرحله (هر ۳۵ روز یک‌بار) در طول دوره رشد سیب‌زمینی با استفاده از دستگاه سطح برگ سنج مدل K-900 E/K و عملکرد در انتهای دوره رشد از ۱۲ مترمربع (شش کوادرات دو مترمربعی) از هر مزرعه ثبت شد. اطلاعات ورودی بخش مدیریت آبیاری به مدل شامل تاریخ آبیاری، عمق آب آبیاری، میزان شوری آب آبیاری و روش آبیاری بودند که از مزارع انتخابی در مناطق مورد مطالعه جمع‌آوری گردیدند. با توجه به اهمیت وضعیت خاک در مراحل مختلف رشد گیاه سیب‌زمینی، در این آزمایش جهت تعیین

جدول ۲- خصوصیات فیزیکو‌شیمیایی خاک مناطق مورد مطالعه

| شهر | عمق خاک (سانتی‌متر) | اسیدیته | هدایت الکتریکی | | دسيزيمنس بر متر | دريصد | سطلت | رس | هدايت اوليه خاک |
|--------|---------------------|---------|----------------|----------|-----------------|-------|------|------|-----------------|
| | | | درصد | کربن آلی | | | | | |
| فریمان | ۰ تا ۳۰ | ۸/۰ | ۱/۰۵ | ۱۲/۹ | ۳۱ | ۵۴ | ۱۵ | ۰/۳۶ | هدايت اوليه خاک |
| | ۳۰ تا ۶۰ | ۸/۰ | ۰/۷۸ | ۱۵/۷ | ۳۳ | ۵۰ | ۱۷ | ۰/۲۷ | سطلت |
| قوچان | ۰ تا ۳۰ | ۷/۸ | ۳/۸۸ | ۱۰/۴ | ۲۶ | ۲۶ | ۴۸ | ۰/۵۶ | رس |
| | ۳۰ تا ۶۰ | ۷/۹ | ۳/۵۷ | ۱۰/۲ | ۳۰ | ۳۶ | ۳۴ | ۰/۵۸ | هدايت اوليه خاک |
| گلمکان | ۰ تا ۳۰ | ۸/۱ | ۱/۱۰ | ۱۹/۵ | ۳۷ | ۴۶ | ۱۷ | ۰/۹۹ | دريصد |
| | ۳۰ تا ۶۰ | ۸/۰ | ۱/۰۰ | ۲۱/۰ | ۳۷ | ۴۶ | ۱۷ | ۰/۶۸ | سطلت |

جدول ۳- برخی هیدرولیکی لایه‌های خاک، استخراج شده بهوسیله مدل RETC

| محل | عمق خاک (سانتی‌متر) | روطیت باقیمانده | روطیت اشیاع | α | n | هدایت هیدرولیکی اشیاع (K_s) | حجم مخصوص ظاهری خاک (ρ_b) |
|---------|------------------------|-----------------|-------------|----------|------|------------------------------------|-------------------------------------|
| فریمان | ۳۰ تا ۰ | ۸ | ۴۶ | ۰/۰۰۷۷ | ۱/۵۲ | ۱۲/۱۹ | ۱/۳۵ |
| | ۶۰ تا ۳۰ | ۹ | ۴۶ | ۰/۰۰۸۶ | ۱/۴۹ | ۱۲/۳۶ | ۱/۳۵ |
| گلملکان | ۳۰ تا ۰ | ۹ | ۴۷ | ۰/۰۱۰۳ | ۱/۴۵ | ۱۲/۱۵ | ۱/۳۵ |
| | ۶۰ تا ۳۰ | ۹ | ۴۲ | ۰/۰۱۰۴ | ۱/۴۳ | ۵/۱۹ | ۱/۵۰ |
| قوچان | ۳۰ تا ۰ | ۹ | ۴۶ | ۰/۰۱۰۳ | ۱/۴۵ | ۱۲/۱۸ | ۱/۳۵ |
| | ۶۰ تا ۳۰ | ۹ | ۴۲ | ۰/۰۱۰۴ | ۱/۴۳ | ۵/۲۰ | ۱/۴۵ |

ضرایب α و n ضرایب معادله نگهداری رطوبت خاک

$$S(h) = \alpha(h) S_{max} \quad (2)$$

که در آن، α : ضریب کاهش و S_{max} : حداقل نرخ جذب آب ریشه‌ها می‌باشد. در این معادله فرض شده است نرخ جذب آب توسط ریشه در عمق مؤثر به صورت معادله ۳ می‌باشد.

$$S_{max} = \frac{T_p}{Z} \quad (3)$$

که در آن، T_p : نرخ تعرق پتانسیل (متر در روز)، Z : عمق مؤثر ریشه‌ها، عمقی که ۷۰ تا ۸۰ درصد ریشه مشاهده شود (متر) و α : ضریب کاهش است که بین صفر و یک متغیر می‌باشد.

جهت ارزیابی مدل از نمودار یک به یک و شاخص‌های مجدور میانگین مربعات خطای (RMSE)، ضریب تبیین (R^2) و ضریب تبیین تعدیل شده ($R^2\text{-adj}$) استفاده گردید (معادله‌های ۴ تا ۶).

$$RMSE = \sqrt{\frac{\sum_{i=1}^n (O_i - S_i)^2}{n}} \quad (4)$$

$$R^2 = \frac{\sum_{i=1}^n (O_i - \bar{S})^2}{\sum_{i=1}^n (S_i - \bar{S})^2} \quad (5)$$

همان‌طور که بیان گردید جهت شبیه‌سازی عملکرد و بهره‌وری آب سیبزمینی از مدل SWAP استفاده شد. SWAP مدلی یک بعدی است که معادله ریچاردز مربوط به حرکت قائم آب در سیستم ناهمگن خاک- ریشه گیاه را به روش تفاضل محدود، حل می‌کند. معادله ریچارد که از ترکیب معادلات دارسی و پیوستگی به دست آمده است به صورت رابطه یک تعریف می‌شود.

$$\frac{\partial \theta}{\partial t} = \frac{\partial}{\partial Z} \left[K(h) \left(\frac{\partial h}{\partial Z} + 1 \right) \right] + S(h) \quad (1)$$

که در آن، h : بار فشاری خاک (سانتی‌متر)، Z : بار ثقل (سانتی‌متر)، t : زمان (روز)، K : هدایت هیدرولیکی (سانتی‌متر در روز)، θ : درصد رطوبت حجمی خاک و S : میزان جذب آب توسط ریشه‌ها در روز می‌باشد. پارامتر $S(h)$ میزان جذب حجم آب در حجم خاک توسط ریشه‌ها در واحد زمان را شبیه‌سازی می‌کند و بستگی به بار فشاری خاک و حداقل نرخ جذب آب (S_{max}) دارد (معادله ۲).

تأثیر کم‌آبیاری بر تبخیر و تعرق، عملکرد و بهره‌وری آب سیب‌زمینی با استفاده از تحلیل رگرسیون بررسی شد. جهت برآش توابع و رسم نمودارها نیز از نرم‌افزار Excel استفاده گردید.

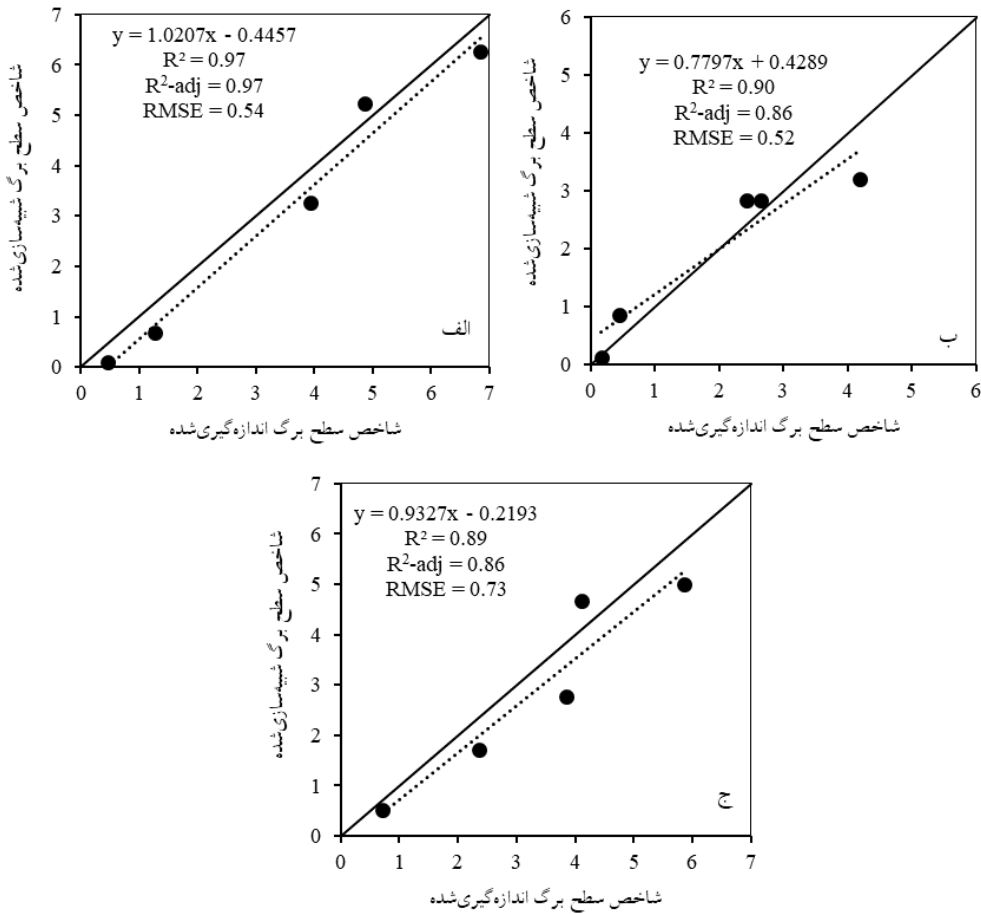
نتایج و بحث

به منظور بررسی دقت مدل SAWP در شبیه‌سازی شاخص سطح برگ، مقدار شاخص سطح برگ شبیه‌سازی شده در مقابل مشاهده شده در هر منطقه قرار گرفت و میزان همبستگی آن‌ها با استفاده از RMSE رگرسیون خطی و دقت مدل‌ها با استفاده از بررسی شد (شکل ۱). نتایج حاکی از آن بود که ضریب تبیین رگرسیون خطی بین شاخص سطح برگ شبیه‌سازی شده و اندازه گیری شده با استفاده از مدل SAWP در گلمنکان، فریمان و قوچان به ترتیب $0/97$ ، $0/90$ و $0/89$ بود. این در حالی است که دقت شاخص سطح برگ شبیه‌سازی شده با توجه به مقدار RMSE به ترتیب برای گلمنکان، فریمان و قوچان $0/54$ ، $0/52$ و $0/73$ به دست آمد. به طور کلی، با توجه به این نتایج می‌توان بیان داشت که مدل SWAP در هر سه منطقه دارای کارایی خوبی در شبیه‌سازی شاخص سطح برگ بوده و در بین مناطق بهترین دقت و قدرت در شبیه‌سازی شاخص سطح برگ را در گلمنکان داشت.

$$R_{adj}^2 = 1 - \left[\frac{(1 - R^2) - (n - 1)}{n - k - 1} \right] \quad (6)$$

در این معادلات، n تعداد کل مشاهدات، O_i مقدار مشاهده شده، S_i مقدار شبیه‌سازی شده توسط مدل، \bar{S} میانگین مقادیر شبیه‌سازی شده توسط مدل و k تعداد رگرسیون‌های مستقل می‌باشد.

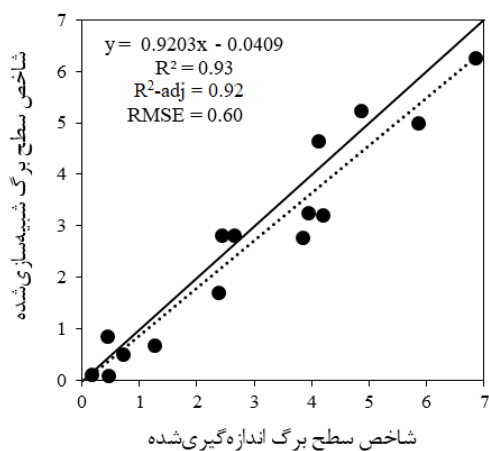
پس از ارزیابی مدل، اثرات سناریوهای آبیاری بر عملکرد و بهره‌وری آب سیب‌زمینی با استفاده از مدل SAWP مورد بررسی قرار گرفت. شبیه‌سازی عملکرد از سال ۱۳۷۳ تا ۱۳۹۸ بر اساس 100 ، 90 ، 80 ، 70 و 50 درصد نیاز آبی سیب‌زمینی برای فریمان، قوچان و گلمنکان انجام شد. نیاز آبی سیب‌زمینی با استفاده از نرم‌افزار CROPWAT 8.0 برای هر منطقه برآورد گردید. این نرم‌افزار جهت محاسبه نیاز آبی نیاز به داده‌های آب و هوایی و ضریب گیاهی (K_c) برای مراحل مختلف رشد دارد. اطلاعات هواشناسی برای هر یک از مناطق مورد مطالعه شامل دمای حداقل، دمای حداکثر، تشعشع خورشیدی، بارندگی، سرعت باد و رطوبت نسبی بود که از سازمان هواشناسی کشور جمع‌آوری گردید. ضریب گیاهی نیز مطابق با مطالعه آلن و همکاران (Allen et al., 1998) برای مراحل ابتدایی، میانی و انتهایی رشد سیب‌زمینی به ترتیب $0/40$ ، $1/15$ و $0/75$ در نظر گرفته شد.



شکل ۱- مقایسه شاخص سطح برگ شبیه‌سازی شده با استفاده از مدل SAWP با شاخص سطح برگ مشاهده شده سیبزمینی در گلمکان (الف)، فریمان (ب) و قوهچان (ج)

خوب مدل در پیش‌بینی شاخص سطح برگ سیبزمینی در مناطق مورد مطالعه است. با این حال، با توجه به شکل ۲ می‌توان بیان داشت که مدل SWAP شاخص سطح برگ را کمتر از مقدار واقعی آن برآورد می‌کند (Underestimate) که این مقدار با افزایش در مقدار شاخص سطح برگ افزایش می‌یابد.

نتایج مقایسه مقادیر شبیه‌سازی شده با مقادیر مشاهده شده شاخص سطح برگ در صورت عدم تفکیک مناطق مورد مطالعه نیز نشان داد که دقت شاخص سطح برگ برآورده شده بر اساس مدل SAWP ۰/۶۰ بود (شکل ۲). علاوه بر این، میزان ضریب تبیین ۰/۹۳ به دست آمد که حاکی از دقت



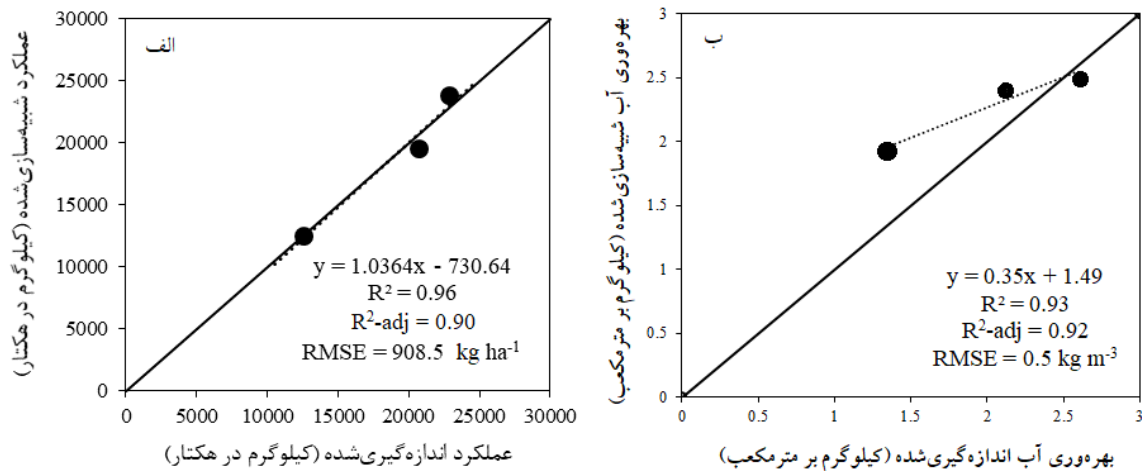
شکل ۲- مقایسه شاخص سطح برگ شبیه‌سازی شده با استفاده از مدل SAWP با شاخص سطح برگ مشاهده شده سیب‌زمینی در سه منطقه مورد مطالعه

RMSE، MBE = -0.05 (2022) نیز عملکرد خوب است. MBE = 0.32 kg m⁻³ و NRMSE = 8% در پیش‌بینی بهره‌وری آب سیب‌زمینی در منطقه نیمه‌مرطوب ایران گزارش کردند. ما و همکاران (Ma et al., 2015) بیان داشتند که عملکرد دانه شبیه‌سازی شده ذرت تابستانه و گندم زمستانه در شمال چین با مدل SWAP به خوبی RMSE<40/48> NSME<0/76> با مقادیر اندازه‌گیری شده Azad (Azad et al., 2018) نشان دادند که SWAP دینامیک آب خاک (Talatapeh et al., 2018) را در منطقه خشک و نیمه‌خشک ایران با دقت بالا شبیه‌سازی کرد.

به منظور بررسی دقت مدل در شبیه‌سازی عملکرد و بهره‌وری آب، عملکرد و بهره‌وری آب شبیه‌سازی شده با استفاده از مدل SAWP برای تمامی مناطق مورد مطالعه در مقابل عملکرد و بهره‌وری آب اندازه‌گیری شده قرار گرفت (شکل ۳). نتایج نشان داد که ضریب تبیین رگرسیون بین عملکرد و بهره‌وری آب شبیه‌سازی شده و اندازه‌گیری شده به ترتیب ۰/۹۶ و ۰/۹۳ بود که نشان‌دهنده دقت بالای مدل در برآورد عملکرد و بهره‌وری آب سیب‌زمینی است. علاوه براین با توجه به میزان RMSE<5/0> کیلوگرم در هکتار و ۰/۵ کیلوگرم بر مترمکعب به ترتیب برای عملکرد و بهره‌وری آب سیب‌زمینی در مناطق مورد مطالعه دارد. با این حال، باید توجه داشت که مدل دقت خوبی در برآورد بهره‌وری آب کمتر ۱/۵ را نداشته است. انصاری و همکاران (Ansari et al.,)

اطمینان ۹۹٪ می‌توان نتیجه گرفت که فاکتور سرعت در الگوی سینی با هوایگذر میانی و جانبی معنادار نیست.

جدول ۲ نتایج بدست آمده از تجزیه واریانس خشک شدن به روش الگوی دوم را در سطح ۰.۱ نشان می‌دهد فاکتورهای دما و برهمکنش سرعت و دما تأثیر معناداری در خشک کردن دارند. و با سطح



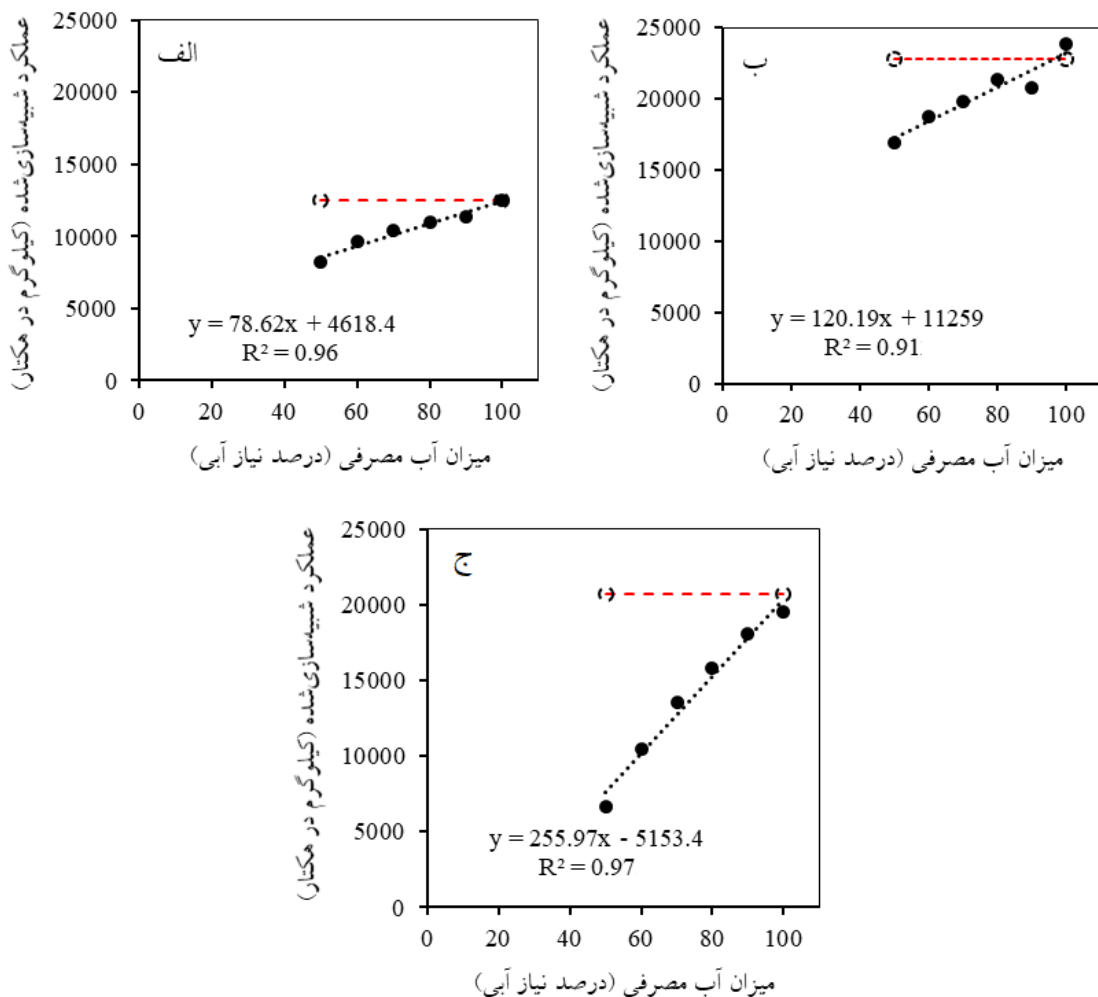
شکل ۳- مقایسه عملکرد (الف) و بهرهوری آب (ب) شبیه‌سازی شده با استفاده از مدل SWAP با عملکرد و بهرهوری آب مشاهده شده سیبزمینی در سه منطقه مورد مطالعه

سناریوهای مختلف کم آبیاری مدیریت شده قرار گرفت تا تأثیر آن بر عملکرد و بهرهوری آب موردنرسی قرار گیرد. نتایج نشان داد که به طور کلی با کاهش میزان آب مصرفی از آبیاری کامل تا ۵۰ درصد نیاز آبی، عملکرد سیبزمینی در تمامی مناطق مورد مطالعه روند کاهشی داشت (شکل ۴). اما میزان کاهش عملکرد به ازای هر یک درصد کاهش در میزان آب آبیاری به ترتیب در قوچان (۲۵۵/۹۷ کیلوگرم به ازای یک درصد کاهش در میزان آب مصرفی) و فریمان (۱۲۰/۱۹ کیلوگرم) از گلمنان (۷۸/۶۲ کیلوگرم) بیشتر بود. خط نقطه‌چین در هر شکل بیانگر میزان عملکرد اندازه‌گیری شده در همان منطقه است که همان‌طور که مشاهده می‌شود عملکرد اندازه‌گیری شده در گلمنان و قوچان تقریباً با عملکرد سیبزمینی در شرایط

نتایج ارزیابی مدل SWAP نشان داد که این مدل می‌تواند جهت شبیه‌سازی عملکرد و بهرهوری آب سیبزمینی مورداستفاده قرار گیرد. بنابراین می‌توان از آن به عنوان یک ابزار مدیریتی برای ارزیابی برنامه‌ریزی بهینه آبیاری در مقیاس محلی استفاده نمود. با این حال، داده‌های کافی به ویژه داده‌های دقیق بارش و داده‌های خاک با وضوح بالا برای شبیه‌سازی عملکرد در شرایط محدودیت آب موردنیاز است. بدون آزمایشات انجام شده در واقعیت تحت شرایط تنش آب، تأیید نتایج مدل غیرممکن است، چراکه عدم اطمینان زیادی در مورد قابلیت اطمینان عملکرد مدل ایجاد می‌کند (Yan et al., 2015).

پس از اطمینان از دقیقت مدل در پیش‌بینی عملکرد سیبزمینی، مدل ارزیابی شده تحت

آبیاری کامل برابر و در فریمان مقدار اندازی کمتر است.



شکل ۴- روند تغییرات عملکرد شبیه‌سازی شده با استفاده از مدل SAWP به‌ازای میزان آب مصرفی سیب‌زمینی در گلمکان (الف)، فریمان (ب) و قوچان (ج) در مقایسه با عملکرد اندازه‌گیری شده سیب‌زمینی (خط‌چین قرمز رنگ)

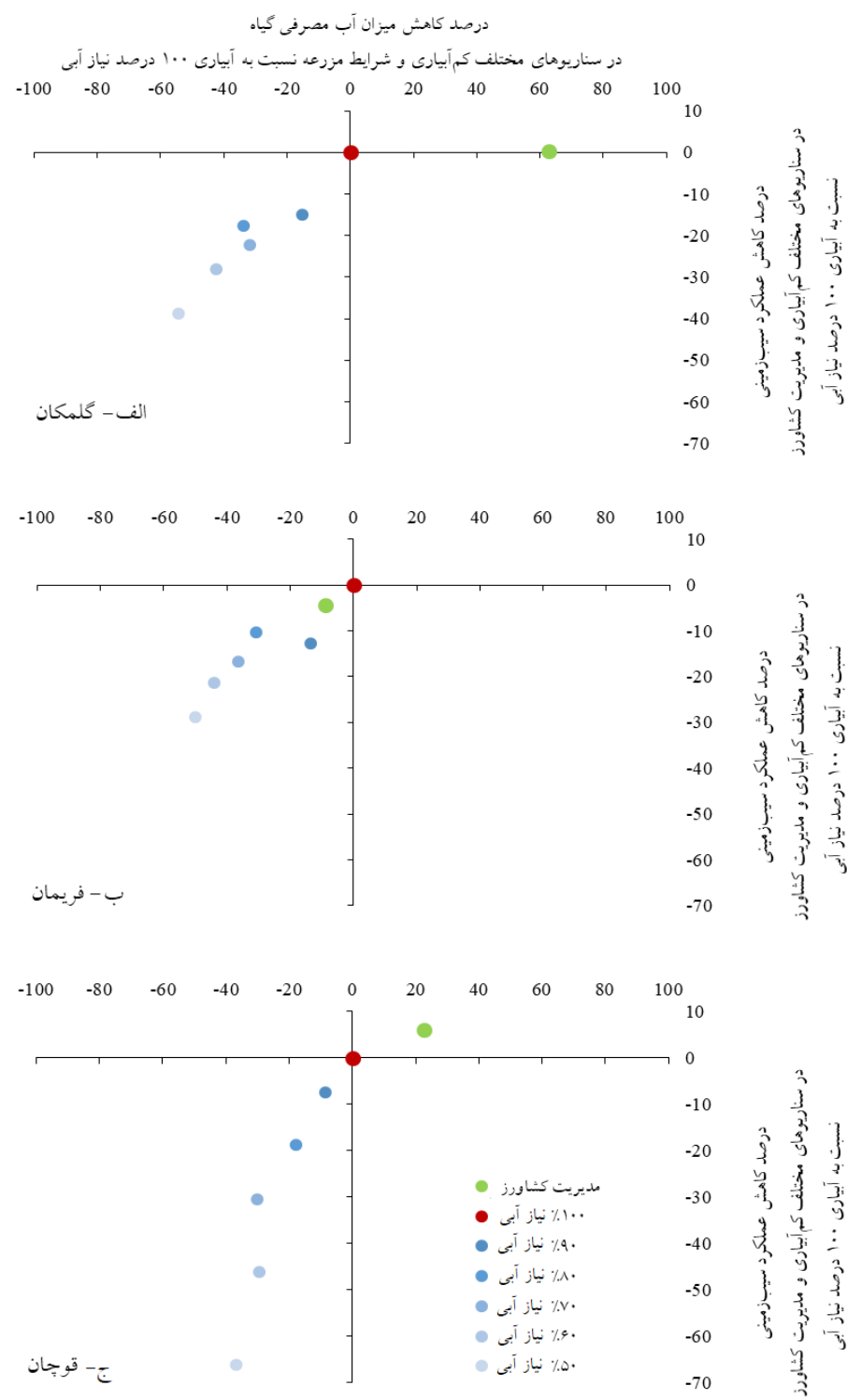
در حالی که کشاورزی با آبیاری کامل ۶۷۱۹ مترمکعب در هکتار) می‌تواند همان میزان عملکرد را با ۶۲ درصد افزایش در بهره‌وری بیشتر آب (۱/۸۶ کیلوگرم در مترمکعب) تولید کند (جدول ۴ و شکل ۵). همچنین با اتخاذ سناریوی کم‌آبیاری مدیریت شده در سطح ۸۰ درصد نیاز آبی ضمن حفظ عملکرد ۱۰۹۹۸/۷ کیلوگرم در هکتار (۱۷/۷ درصد کاهش نسبت به آبیاری کامل) می‌توان بهره‌وری آب را بیش

اثر سناریوهای مختلف کم‌آبیاری بر بهره‌وری آب سیب‌زمینی در منطقه گلمکان نشان داد که مدیریت کشاورز با عملکرد ۱۲۵۵۴/۶ کیلوگرم و مصرف آب ۱۰۹۴۴ مترمکعب در هکتار دارای بهره‌وری آب ۱/۱۵ کیلوگرم در متر مکعب بود (جدول ۴). در واقع در گلمکان، کشاورز به ازای ۶۰ درصد بیشتر آب مصرفی نسبت به آبیاری ۱۰۰ درصد نیاز آبی در مزرعه، عملکرد سیب‌زمینی مشابه‌ای را به دست آورد.

از دو برابر افزایش داد. در این حالت مصرف آب آبیاری به ۴۴۰ مترمکعب در هکتار کاهش خواهد یافت (جدول ۴ و شکل ۵).

جدول ۴- حجم آبیاری، عملکرد و بهرهوری آب سیبزمینی برای سناریوهای مختلف کم آبیاری در مناطق مورد مطالعه (فریمان، گلمکان، قوچان)

| منطقه | سناریو | (مترمکعب در هکتار) (کیلوگرم در هکتار) | حجم آبیاری (مترمکعب در هکتار) | عملکرد (کیلوگرم در هکتار) | بهرهوری آب |
|--------|---------------|---------------------------------------|-------------------------------|---------------------------|------------|
| گلمکان | مدیریت کشاورز | ۱۲۵۵۴/۶ | ۱۰۹۴۴ | | ۱/۱۵ |
| | درصد نیاز آبی | ۱۲۵۲۲/۳ | ۶۷۱۹ | | ۱/۸۶ |
| | درصد نیاز آبی | ۱۱۳۷۰/۲ | ۵۷۰۸ | | ۱/۹۹ |
| | درصد نیاز آبی | ۱۰۹۹۸/۷ | ۴۴۴۰ | | ۲/۴۸ |
| | درصد نیاز آبی | ۱۰۳۹۳/۱ | ۴۵۹۴ | | ۲/۲۶ |
| | درصد نیاز آبی | ۹۶۰۷/۱ | ۳۸۶۲ | | ۲/۴۹ |
| | درصد نیاز آبی | ۸۱۹۷/۹ | ۳۰۶۰ | | ۲/۶۸ |
| | مدیریت کشاورز | ۲۲۸۰۳/۸ | ۹۴۹۴ | | ۲/۴۰ |
| فریمان | درصد نیاز آبی | ۲۳۸۵۶/۱ | ۱۰۴۲۶ | | ۲/۲۹ |
| | درصد نیاز آبی | ۲۰۸۰۵/۷ | ۹۰۱۱ | | ۲/۳۱ |
| | درصد نیاز آبی | ۲۱۳۷۶/۲ | ۷۲۲۷ | | ۲/۹۶ |
| | درصد نیاز آبی | ۱۹۸۶۱/۱ | ۶۶۳۷ | | ۲/۹۹ |
| | درصد نیاز آبی | ۱۸۷۷۴/۰ | ۵۸۴۴ | | ۳/۲۱ |
| | درصد نیاز آبی | ۱۶۹۶۵/۰ | ۵۲۰۵ | | ۳/۲۶ |
| | مدیریت کشاورز | ۲۰۷۳۲/۸ | ۱۵۷۵۰ | | ۱/۹۴ |
| | درصد نیاز آبی | ۱۹۵۶۳/۳ | ۸۷۳۰ | | ۲/۲۴ |
| قوچان | درصد نیاز آبی | ۱۸۰۸۰/۹ | ۷۹۷۷ | | ۲/۲۷ |
| | درصد نیاز آبی | ۱۵۸۷۱/۲ | ۷۱۹۰ | | ۲/۲۱ |
| | درصد نیاز آبی | ۱۳۵۹۶/۲ | ۶۱۰۳ | | ۲/۲۳ |
| | درصد نیاز آبی | ۱۰۵۱۴/۵ | ۶۱۴۹ | | ۱/۷۱ |
| | درصد نیاز آبی | ۶۶۴۰/۲ | ۵۵۲۵ | | ۱/۲۰ |



شکل ۵- درصد تغییرات عملکرد سیب زمینی و میزان آب مصرفی گیاه در سناریوهای مختلف کم آبیاری و شرایط مزرعه نسبت به آبیاری ۱۰۰ درصد در گلمکان (الف)، فریمان (ب) و قوچان (پ)

بود با افزایش ۲۲/۷ درصدی آب مصرفی توسط کشاورز نسبت به شرایط ۱۰۰ درصد تعرق نسبی (۸۷۳۰ مترمکعب در هکتار) حاصل شد (جدول ۴ و شکل ۵) که نتیجه آن افزایش ۱۵/۸ درصدی بهره‌وری آب بود. از سوی دیگر اگرچه با اتخاذ سناریوی کم‌آبیاری مدیریت شده در سطح ۹۰ درصد تعرق نسبی (۷۹۷۷ مترمکعب در هکتار)، عملکرد سیب‌زمینی تقریباً ۷/۶ درصد کاهش می‌یابد، اما بیشترین میزان بهره‌وری آب (۱۷ درصد افزایش) به دست می‌آید. با افزایش میزان کاهش در آب مصرفی تا ۸۰ درصد نیاز آبی، بهره‌وری آب برابر با شرایط ۱۰۰ درصد نیاز آبی بود و عملکرد در حدود ۱۸/۹ درصد کاهش یافت. لازم به ذکر است در شرایط کمبود آب در منطقه و کاهش بارش در سال این مقدار کاهش عملکرد در هر سه منطقه قابل چشم‌پوشی است (جدول ۴ و شکل ۵).

سیب‌زمینی به دلیل سیستم ریشه کم‌عمقی که دارد، حساس‌ترین گونه زراعی به خشکی محسوب می‌شود (Dahal *et al.*, 2019). واریته‌های زودرس و دیررس در برابر تنفس اولیه به دلیل کاهش سطح برگ، کاهش نرخ فتوستمزی و کاهش تخصیص مواد جذب شده به غده‌ها بسیار حساس هستند و بیشترین آسیب را به غده‌زایی، حجمی‌شدن و عملکرد غده می‌زنند (Pradel *et al.*, 2019). از آنجایی که رشد سیب‌زمینی و عملکرد غده آن تا حد زیادی به بارندگی و آبیاری بستگی دارد، حتی یک دوره کوتاه کمبود آب می‌تواند باعث از دستدادن میزان قابل توجهی از عملکرد غده سیب‌زمینی (در حدود ۵۰ درصد) و کاهش کیفیت آن شود (Skowera *et al.*, 2016; Łabędzki *et al.*, 2017; Pradel *et al.*,

اثر سناریوهای مختلف کم‌آبیاری بر بهره‌وری آب سیب‌زمینی در منطقه فریمان نیز نشان داد که مدیریت کشاورز با عملکرد ۲۲۸۰۳/۸ کیلوگرم در هکتار و مصرف آب ۹۴۹۴ مترمکعب در هکتار دارای بهره‌وری آب ۲/۴۰ کیلوگرم در متر مکعب است (جدول ۴). در فریمان برخلاف گلمکان و قوچان، میزان آب مصرفی در مزرعه توسط کشاورز تقریباً ۸/۹ درصد کمتر از میزان آب مصرفی در شرایط آبیاری کامل (۱۰۴۲۶ مترمکعب در هکتار) بود (جدول ۴ و شکل ۵). این در حالی است که میزان عملکرد در این شرایط تنها ۴/۴ درصد از عملکرد تولیدی در شرایط آبیاری کامل کمتر بود که در نتیجه بهره‌وری آب تقریباً ۴/۷ درصد بیشتر از شرایط آبیاری کامل بود (جدول ۴ و شکل ۵). به علاوه، با اتخاذ سناریوی کم‌آبیاری مدیریت شده در سطح ۸۰ درصد نیاز آبی (۷۲۲۷ مترمکعب در هکتار) ضمن حفظ عملکرد ۲۱۳۷۶/۲ کیلوگرم در هکتار (۱۰/۴ درصد کاهش نسبت به آبیاری کامل) می‌توان بهره‌وری آب را تقریباً ۲۳ درصد ۲/۹۶ کیلوگرم در متر مکعب) افزایش داد (جدول ۴ و شکل ۵). در قوچان نیز تأثیر سناریوهای مختلف کم‌آبیاری بر بهره‌وری آب سیب‌زمینی حاکی از آن بود که عملکرد سیب‌زمینی و آب مصرفی در شرایط مدیریت کشاورز به ترتیب ۲۰۷۳۲/۸ کیلوگرم در هکتار و ۱۵۷۵۰ مترمکعب در هکتار بود که در این شرایط بهره‌وری آب در حدود ۱/۹۴ کیلوگرم در متر مکعب به دست آمد (جدول ۴). این عملکرد که تقریباً ۶ درصد نسبت به عملکرد شبیه‌سازی شده با استفاده از مدل SWAP در شرایط ۱۰۰ درصد نیاز آبی بیشتر

همان‌طورکه توسط العابدین و همکاران (Zin El-Abidine et al., 2019) نشان داده شده است. آن‌ها نشان دادند که بهره‌وری آب سیب‌زمینی در شرایط آبیاری ۷۰ و ۵۰ درصد نیاز آبی گیاه به ترتیب ۳۰/۱۶ و ۴۱/۳۲ درصد نسبت به شرایط آبیاری کامل (۱۰۰ درصد نیاز آبی گیاه) کاهش یافته است. به‌طورکلی، محدودیت ۵۰ درصدی آب، مقدار نرخ تعرق را بیش از ۳۰ درصد کاهش داد، درحالی‌که مقادیر نرخ تعرق تیمارهای خشک‌کردن جزئی ناحیه ریشه و کم‌آبیاری کمتر از مقدار مربوط به تیمار آبیاری کامل بود. به‌طورکلی، آن‌ها اظهار داشتند که مقدار زیادی از آبیاری که در یک محیط خشک استفاده می‌شود ممکن است به‌دلیل تبخیر خاک از بین برود و درنتیجه منجر به عملکرد ضعیف محصول و بهره‌وری آب شود. در شرایط کم‌آبیاری، ریشه‌های گیاه هورمون‌هایی ترشح می‌کنند و سیگنانلهایی را به اندام‌های هوایی می‌فرستند که تعرق را با بستن نسبی روزنه‌ها بدون ایجاد مانع در فتوستتر و رشد گیاه، سرکوب می‌کنند، در نتیجه بهره‌وری آب افزایش می‌یابد (Sarker et al., 2019).

نتیجه‌گیری

نتایج این مطالعه نشان داد که مدل SWAP توانایی خوبی در شبیه‌سازی عملکرد و بهره‌وری آب سیب‌زمینی در استان خراسان رضوی دارد. با این حال، باید توجه داشت که دستیابی به نتایج قابل قبول توسط این مدل نیازمند واسنجی و ارزیابی آن در سطح مزرعه است. همچنین نتایج حاکی از آن بود که با اعمال کم‌آبیاری تا ۵۰ درصد نیاز آبی، عملکرد سیب‌زمینی در تمامی مناطق موردمطالعه روند کاهشی خواهد داشت که میزان این کاهش به‌ازای هر

(2019). به علاوه، سیب‌زمینی دارای محتوی آب بالا و حدود ۸۵ درصد وزن خشک است که ۱ درصد آن برای فرآیندهای متابولیک و ۹۹ درصد برای تعرق مورد نیاز است. تنفس آب می‌تواند کارایی فتوستتر را در تمام مراحل رشد سیب‌زمینی کاهش دهد. کمبود آب در طول دوره پر شدن غده باعث از بین رفتن قابل توجه محصول در مقایسه با خشکسالی در مراحل دیگر توسعه می‌شود. کولیگ و همکاران (Kulig et al., 2020) نیز دریافتند که عناصر عملکرد با بارندگی کل و تعداد روزهای بارندگی در دوره‌های طولانی‌تر مرتبط بودند، اما شروع رسیدگی تا رسیدگی کامل بیشترین تأثیر را برای عملکرد داشت ($r = 0.87$). در واقع ظهور خشکسالی دیررس در مراحل حجم‌شدن غده و غده‌دهی تأثیر بیشتری بر عملکرد دارد؛ زیرا فرآیندهای فیزیولوژیکی در گیاهان در این دوره به حداقل بازده خود می‌رسند و خشکسالی‌های دیررس در مرحله حجم‌شدن غده به دلیل افزایش تعرق محصول، کاهش تشکیل برگ‌های جدید و احتمال ریزش زودرس برگ‌ها در این مرحله، تأثیر بیشتری بر عملکرد غده دارد. (Kulig et al., 2020; ten Den et al., 2022) رودریگز و همکاران (Rodriguez et al., 2016) نیز بیان داشتند که خشکسالی تا ۴ هفته در طول توسعه سیب‌زمینی منجر به کاهش عملکرد و پارامترهای کیفیت محصول می‌شود. اگرچه سیب‌زمینی به کمبود آب بسیار حساس است، اما فقط آبیاری دقیق (جلوگیری از آبیاری کم یا زیاد) منجر به تولید عملکرد بالا می‌شود (Ati et al., 2012; Rodriguez et al., 2016). در غیر این صورت، تلفات نه تنها در عملکرد غده، بلکه در آب نیز مشاهده می‌شود،

و فریمان و ۹۰ درصد نیاز آبی در قوچان ضمن حفظ عملکرد در حد مطلوب، می‌توان بهرهوری آب را نسبت به آبیاری کامل (۱۰۰ درصد نیاز آبی) بهبود داد.

یک درصد کاهش در میزان آب آبیاری در قوچان بیشتر از فریمان و گلمنکان خواهد بود. به طورکلی می‌توان بیان داشت که با اتخاذ سناریوی کمآبیاری مدیریت شده در سطح ۸۰ درصد نیاز آبی در گلمنکان

REFERENCES

- Allen, R.G., Pereira, L.S., Raes, D. and Smith, M. 1998. Crop evapotranspiration: guidelines for computing crop water requirements. FAO irrigation and drainage paper no. 56. FAO, Rome, Italy.
- Ansari, M.A., Egdernezhad, A. and Ebrahimipak, N.A. 2022. Evaluation of SWAP for Simulation of Potato and Determination of Adequate Irrigation Depth. Iranian Journal of Irrigation and Drainage, 16(5): 891-903. (In Farsi)
- Ati, A.S., Iyada, A.D. and Najim, S.M. 2012. Water use efficiency of potato (*Solanum tuberosum L.*) under different irrigation methods and potassium fertilizer rates. Annals of Agricultural Sciences, 57: 99–103.
- Azad Talatapeh, N., Behmanesh, J., Rezaverdinejad, V. and Tayfeh Rezaie, H. 2018. Climate change impacts modeling on winter wheat yield under full and deficit irrigation in Myandoab-Iran. Archives of Agronomy and Soil Science, 64(5): 731-746.
- Azad Talatapeh, N., Behmanesh, J., Rezaverdinejad, V. and Tayfeh Rezaie, H. 2018. Climate change impacts modeling on winter wheat yield under full and deficit irrigation in Myandoab-Iran. Archives of Agronomy and Soil Science, 64(5): 731-746.
- Dahal, K., Li, X.-Q., Tai, H., Creelman, A. and Bizimungu, B. 2019. Improving potato stress tolerance and tuber yield under a climate change scenario- a current overview. Frontiers in Plant Science, 10: 547–563.
- de Jong van Lier, Q., Wendroth, O. and van Dam, J.C. 2015. Prediction of winter wheat yield with the SWAP model using pedotransfer functions: An evaluation of sensitivity, parameterization and prediction accuracy. Agricultural Water Management, 154: 29–42.
- Devaux, A., Goffart, J.P., Petsakos, A., Kromann, P., Gatto, M., Okello, J., Suarez, V. and Hareau, G. 2020. Global food security, contributions from sustainable potato agri-food systems. In: Campos, H., Ortiz, O. (Eds.), The Potato Crop: Its Agricultural, Nutritional and Social Contribution to Humankind. In: Campos, H. and Ortiz, O., editors. Springer International Publishing, Cham. p. 3–35.
- Doorenbos, J. and Kassam, A.H. 1979. Yield response to water. In FAO Irrigation and Drainage Paper, No. 33, FAO: Rome, Italy, p. 193.
- El-Abedin, T.K., Matter, M.A., Al-Ghabari, H.M. and Alazba, A.A. 2019. Water-saving irrigation strategies in potato fields: Effects on physiological characteristics and water use in arid region. Agronomy, 9: 1–9.
- FAO (2022). FAOSTAT. FAO. <https://www.fao.org/faostat/en>.
- Goldani, M., Bannayan, M. and Yaghoubi, F. 2021. Crop water productivity and yield response of two greenhouse basil (*Ocimum basilicum L.*) cultivars to deficit irrigation. Water Supply, 21(7): 3735-3751.

- Heinen, M., Mulder, M. and Kroes, J. 2021. SWAP 4: technical addendum to the SWAP documentation. Wageningen Environmental Research. 41 p.
- Iranian Ministry of Agriculture, 2022. Statistics of agricultural products in 2017–2018. <http://www.maj.ir>. Accessed 3 Mar 2022. (In Farsi)
- Jing, Q., McConkey, B., Qian, B., Smith, W., Grant, B., Shang, J., Liu, J., Bindraban, P. and Luce, M.S. 2021. Assessing water management effects on spring wheat yield in the Canadian Prairies using DSSAT wheat models. Agricultural Water Management, 244: 106591.
- Jonubi, R., Rezaverdinejad, V. and Salemi, H. 2017. Enhancing field scale water productivity for several rice cultivars under limited water supply. Paddy and Water Environment, 16(1): 125-141.
- Kroes, J.G. and J.C. van Dam. 2003. Reference Manual SWAP version 3.0.3. Wageningen, Alterra, Green World Research. Alterra-report 773. Reference Manual SWAP version 3.0.3.doc. 211 pp.
- Kroes, J.G., Van Dam, J.C., Bartholomeus, R.P., Groenendijk, P., Heinen, M., Hendriks, R.F.A., Mulder, H.M., Supit, I. and Van Walsum, P.E.V. 2017. SWAP version 4: theory description and user manual. Alterra-rapport-Wageningen University and Research Centre, (2780).
- Kulig, B., Skowera, B., Klimek-Kopyra, A., Kołodziej, S. and Grygierzec, W. 2020. The Use of the WOFOST Model to Simulate Water-Limited Yield of Early Potato Cultivars.
- Łabędzki, L. and Bąk, B. 2017. Impact of meteorological drought on crop water deficit and crop yield reduction in polish agriculture. Journal of Water and Land Development, 34: 181–190.
- Leighari, S.J., Hu, K., Liang, H. and Wei, Y. 2019. Modeling water and nitrogen balance of different cropping systems in the North China Plain. Agronomy, 9(11): 696.
- Moghimi, M.M. and Sepaskhah, A.R. 2014. Consideration of Water Productivity for Farm Water Management in Different Conditions of Water Availability for Dominant Summer Crops. Iran Agricultural Research, 33(2): 47-62.
- Neukam, D., Ahrends, H., Luig, A., Manderscheid, R. and Kage, H. 2016. Integrating wheat canopy temperatures in crop system models. Agronomy, 6(1): 7.
- Pradel, W., Gatto, M., Hareau, G., Pandey, S.K. and Bhardwaj, V. 2019. Adoption of potato varieties and their role for climate change adaption in India. Climate Risk Management, 23: 114–123.
- Rodriguez, L., Sanjuanelo, D., Nustez, C.E. and Moreno-Fonseca, P. 2016. Growth and phenology of three andean potato varieties (*Solanum tuberosum* L.) under water stress. Agronomía Colombiana, 34: 141–154.
- Sarker, K.K., Hossain, A., Timsina, J., Biswas, S.K., Kundu, B.C., Barman, A., Murad, K.F. and Akter, F. 2019. Yield and quality of potato tuber and its water productivity are influenced by alternate furrow irrigation in a raised bed system. Agricultural Water Management, 224: 105750.
- Skowera, B., Kopcińska, J., Ziernicka-Wojtaszek, A. and Wojkowski, J. 2016. Precipitation deficiencies and excesses during the growing season of late potato in the opolskie

- voivodship (1981–2010). *Acta Scientiarum Polonorum. Formatio Circumiectus*, 15: 137–149.
- Supit, I., Hooyer, A.A. and Van Diepen, C.A. 1994. System description of the WOFOST 6.0 crop simulation model implemented in the CGMS Vol. 1: Theory and algorithms. EUR publication 15956. Agricultural Series. Luxemberg.
- ten Den, T., van de Wiel, I., de Wit, A., van Evert, F.K., van Ittersum, M.K. and Reidsma, P. 2022. Modelling potential potato yields: Accounting for experimental differences in modern cultivars. *European Journal of Agronomy*, 137: 126510.
- Yaghoubi, F., Bannayan, M. and Asadi, G.A. 2022. Changes in spatio-temporal distribution of AgMERRA-derived agro-climatic indices and agro-climatic zones for wheat crops in the northeast Iran. *International Journal of Biometeorology*, 66: 431-446.
- Yan, Y. 2005. Application of SWAP-WOFOST to evaluate the influence of water and oxygen stress on potato yield in a Dutch farm, MSc Thesis, Plant Production System, and Wageningen University. 61 pp.
- Yan, Y., Reidsma, P. and Kroes, J. 2015. Application of SWAP-WOFOST to evaluate the influence of water and oxygen stress on potato yield in a Dutch farm. Unpublished MSc, Plant Production Systems. Thesis, Wageningen Agricultural University, Department of Plant Production Systems, Wageningen, The Netherlands, 61.
- Zhang, X., Chen, S., Sun, H., Wang, Y. and Shao, L. 2010. Water use efficiency and associated traits in winter wheat cultivars in the North China Plain. *Agricultural Water Management*, 97(8): 1117-1125.
- Zin El-Abedin, T.K., Mattar, M.A., Al-Ghabari, H.M. and Alazba, A.A. 2019. Water-saving irrigation strategies in potato fields: Effects on physiological characteristics and water use in arid region. *Agronomy*, 9(4): 172..



Evaluation of Potato Water Productivity Under Deficit Irrigation Conditions Using Modeling Approach

Mahsa Mostafavi Babukani¹, Yousef Hasheminejhad^{2*}, Mohammad Armin³, Hamid Marvi⁴, Kourosh Shojaei⁵

¹PhD student, Department of Agronomy and Plant Breeding, Sabzevar Branch, Islamic Azad University, Sabzevar, Iran

²Assistant Professor, Department of Agronomy and Plant Breeding, Sabzevar Branch, Islamic Azad University, Sabzevar, Iran

³Professor, National Salinity Research Center (NSRC), Agricultural Research, Education and Extension Organization (AREEO), Yazd, Iran,

⁴Assistant Professor, Department of Agronomy and Plant Breeding, Sabzevar Branch, Islamic Azad University, Sabzevar, Iran

⁵Assistant Professor, Field and Horticulture Crops Research Department, Agricultural and Natural Resources Research and Education Centre of Khorasan-e-Razavi, Agricultural Research, Education and Extension Organization (AREEO), Mashhad, Iran.

* Corresponding Author's Email: hasheminejhad@gmail.com

(Received: March. 1, 2024– Accepted: April. 6, 2024)

ABSTRACT

Due to its high yield and nutritional value, potato is an alternative to cereals and a vital food-security crop. This study was conducted in order to evaluate the SWAP model to simulating the yield and water productivity of potato under deficit irrigation conditions in the main potato cultivation regions of Razavi Khorasan province, including Fariman, Ghoochan, and Golmkan in 2019. First, the model performance to simulate the leaf area index and potato yield was evaluated based on the measurements taken from the fields of all three locations. Then, using the evaluated model, the yield and water productivity of potato were simulated under different irrigation and deficit irrigation scenarios, including irrigation based on farmer management, and 100, 90, 80, 70, 60 and 50% of potato water requirement. The results showed that the SAWP model had good performance in simulating potato leaf area index ($R^2>0.89$ and $RMSE<0.73$), yield ($R^2=0.96$ and $RMSE=5.908 \text{ kg ha}^{-1}$), and water productivity ($R^2=0.93$ and $RMSE=0.5 \text{ kg m}^{-3}$). Compared to full irrigation, by reducing the amount of irrigation water to 50% of the water requirement, the potato yield decreased. The amount of yield decreases for each one percent decrease in the amount of irrigation water in Ghoochan, Fariman, and Golmkan was 255.97, 120.19 and 78.62 kg ha^{-1} , respectively. The potato water productivity also increased by using deficit irrigation up to 50% of the water requirement in Golmakan and Fariman and up to 90% of the water requirement in Ghoochan. In general, by adopting the deficit irrigation at the level of 80% of the water requirement in Golmakan and Fariman and 90% of the water requirement in Ghoochan, it is possible to improve the water productivity compared to full irrigation while maintaining the optimum yield.

Keywords: Simulation, SWAP, Validation, Yield.